

# Sistemas de Visão e Percepção Industrial

## 3-Processamento a Baixo Nível

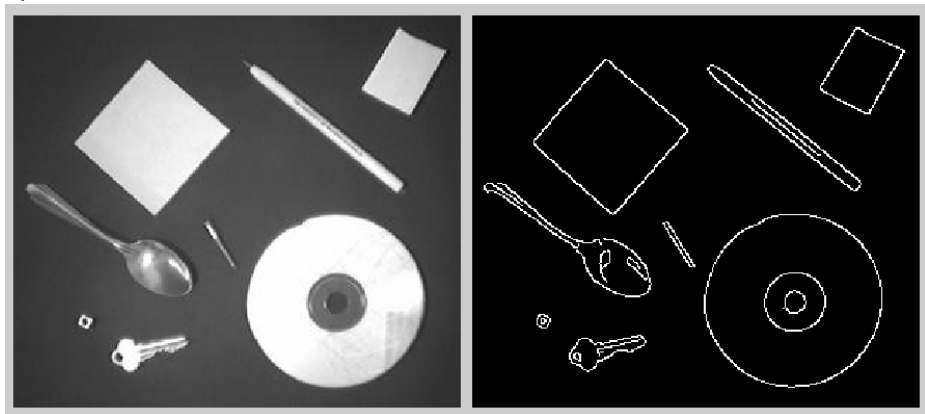
### Parte 3 - Detecção de Arestas

- 1 Conceitos e definições
- 2 Operadores específicos
- 3 Operadores segunda ordem
- 4 Exemplos em Matlab
- 5 Técnicas de *template matching*

# Conceitos e definições

## Deteção de bordas (Edge detection)

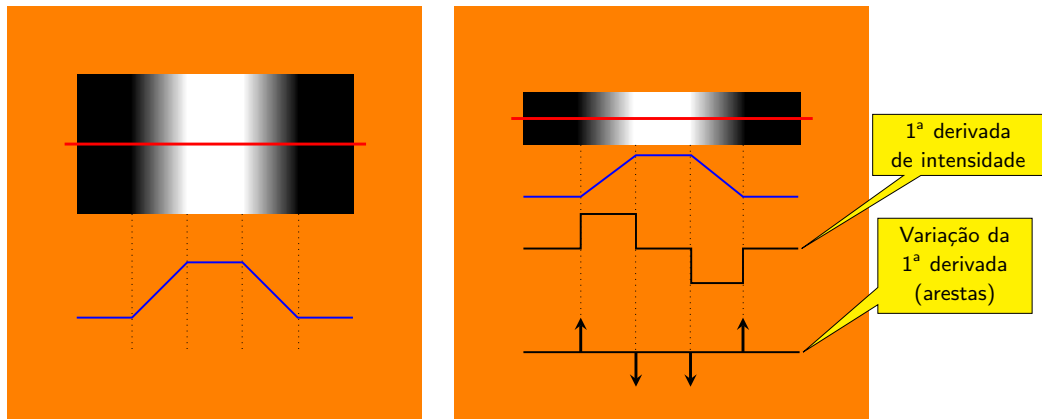
- Bordas ( ou "arestas") são regiões (pixels) de grande contraste nas intensidades da vizinhança.
- São importantes para a detecção e segmentação de objetos.
- Exemplo:



- Técnicas baseadas em gradiente de primeira ordem
  - usam dois filtros de convolução (kernels)
  - Básico, Sobel / Prewitt, Robberts
  - Canny
  - ...
- Técnicas que usam gradientes de 2ª ordem
  - Zero Crossing (ou Marr edge detector)
  - Usa laplacianos, LoG, DoG, etc.
  - ...
- Técnicas baseadas em Template Matching (ou Prewitt Compass Edge Detection)
  - Usam em geral 8 filtros de convolução ( $k \times 45^\circ$ )
  - Kirsh, Robinson, Prewitt (TM), etc. . .

# Deteção de bordas por gradiente

- A técnica comum é a de detetar variações de intensidade usando um operador derivativo local.
- Exemplo de perfil de intensidades e suas derivadas:



# Operador de gradiente para arestas (bordas)

- Definição

$$\vec{G} = \begin{bmatrix} G_x \\ G_y \end{bmatrix} = \begin{bmatrix} \frac{\partial f}{\partial x} & \frac{\partial f}{\partial y} \end{bmatrix}^T$$

- Norma do gradiente e sua aproximação usual

$$\|\vec{G}\| = \sqrt{G_x^2 + G_y^2} \approx |G_x| + |G_y|$$

- Variante discreta...

$$G_x = f(x, y) - f(x - 1, y) \quad G_y = f(x, y) - f(x, y - 1)$$

- ... e os filtros correspondentes

$$G_x = \begin{bmatrix} 0 & 0 & 0 \\ -1 & 1 & 0 \\ 0 & 0 & 0 \end{bmatrix} \quad G_y = \begin{bmatrix} 0 & -1 & 0 \\ 0 & 1 & 0 \\ 0 & 0 & 0 \end{bmatrix}$$

## Operador de gradiente (cont.)

- Uma vez obtido o valor do gradiente para todos os pixels...
  - ...procuram-se os que têm um máximo local ou que excedem um dado limiar estabelecido por um critério que poderá ter algumas variantes...
  - ...esses pontos serão "arestas"!
  - **NB:** Existe alguma diversidade de algoritmos para definir se um dado valor de gradiente é "suficiente" ou não para classificar o ponto como "aresta". Uma referência interessante sobre o assunto é:
    - Digital Image Processing, W. Pratt, Wiley, 2007.
- Além do valor (intensidade ou "força") da "aresta", em certos casos é usual também considerar a "orientação" da "aresta" dada por:

$$\theta = \arctan \left( \frac{G_y}{G_x} \right)$$



# Operadores específicos

- Operador de Sobel

- Alternativa usualmente mais eficaz para detetar "arestas" do que gradiente simples.
- Atente-se ao "peso" dos diversos pixels para os validar como "aresta":

$$G_x = \begin{bmatrix} -1 & 0 & 1 \\ -2 & 0 & 2 \\ -1 & 0 & 1 \end{bmatrix} \quad G_y = \begin{bmatrix} -1 & -2 & -1 \\ 0 & 0 & 0 \\ 1 & 2 & 1 \end{bmatrix}$$

## Outros operadores para "arestas"

- Operador de Prewitt

$$G_x = \begin{bmatrix} -1 & 0 & 1 \\ -1 & 0 & 1 \\ -1 & 0 & 1 \end{bmatrix} \quad G_y = \begin{bmatrix} -1 & -1 & -1 \\ 0 & 0 & 0 \\ 1 & 1 & 1 \end{bmatrix}$$

- Operador de Roberts ( $2 \times 2$ )

$$G_x = \begin{bmatrix} 1 & 0 \\ 0 & -1 \end{bmatrix} \quad G_y = \begin{bmatrix} 0 & 1 \\ -1 & 0 \end{bmatrix}$$

- Mais em concreto, se  $P_1, P_2, P_3, P_4$  forem os pixels dispostos no seguinte arranjo numa dada imagem, a operação de cálculo do gradiente por Roberts no pixel  $P_1$  é equivalente a:

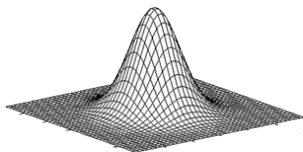
$P_1$	$P_2$
$P_3$	$P_4$

$$G = |P_1 - P_4| + |P_2 - P_3|$$

- Note-se que este operador é muito rápido mas é muito sensível ao ruído!

# Um algoritmo mais sofisticado

- Método de Canny (dos mais populares)
  - Operação com estas fases principais:
    - Aplicação de uma Convolução Gaussiana
    - Aplicação de Filtro de Roberts (por vezes outros como Sobel)
    - Seguimento da aresta para evitar fragmentações
- Filtragem Gaussiana



$$\frac{1}{273} \begin{bmatrix} 1 & 4 & 7 & 4 & 1 \\ 4 & 16 & 26 & 16 & 4 \\ 7 & 26 & 41 & 26 & 7 \\ 4 & 16 & 26 & 16 & 4 \\ 1 & 4 & 7 & 4 & 1 \end{bmatrix}$$

- Roberts

$$G_x = \begin{bmatrix} 1 & 0 \\ 0 & -1 \end{bmatrix}$$

$$G_y = \begin{bmatrix} 0 & 1 \\ -1 & 0 \end{bmatrix}$$

- Dois limiares de binarização T1 e T2 usados com histerese no "seguimento" da aresta.

- Mais detalhes em <http://homepages.inf.ed.ac.uk/rbf/HIPR2/canny.htm>

## Operadores segunda ordem

# Operadores de segunda derivada

- Os detetores de bordos de primeira derivada...
  - ... podem gerar arestas "largas" em regiões de variação constante!
  - ... são relativamente direcionais (anisotrópicos).
- Alternativa:
  - usar a segunda derivada.
- Exemplo
  - Laplaciano
    - Assemelha-se a operação de 2ª derivada.
    - Ainda mais sensível ao ruído que a 1ª derivada.
  - Definição e filtro correspondente:

$$\mathcal{L}[f(x, y)] = \frac{\partial^2 f}{\partial x^2} + \frac{\partial^2 f}{\partial y^2} \quad \mathcal{L} = \begin{bmatrix} 0 & 1 & 0 \\ 1 & -4 & 1 \\ 0 & 1 & 0 \end{bmatrix}$$

# Demonstração do filtro do Laplaciano

	$f(x, y - 1)$	
$f(x - 1, y)$	$f(x, y)$	$f(x + 1, y)$
	$f(x, y + 1)$	

- Os valores da primeira derivada na horizontal:

$$G_{1x} = f(x, y) - f(x - 1, y) \text{ e } G_{2x} = f(x + 1, y) - f(x, y)$$

- Estas duas diferenças permitem uma segunda operação de diferenças entre elas:

$$G_{XX} = G_{2x} - G_{1x} = [f(x + 1, y) - f(x, y)] - [f(x, y) - f(x - 1, y)] = f(x + 1, y) - 2f(x, y) + f(x - 1, y)$$

- Raciocínio similar para a derivada na vertical:

$$G_{YY} = f(x, y + 1) - 2f(x, y) + f(x, y - 1)$$

## Demonstração do filtro do Laplaciano (conc.)

- Os filtros de convolução (2D) são então:

$$G_{XX} = \begin{bmatrix} 0 & 0 & 0 \\ 1 & -2 & 1 \\ 0 & 0 & 0 \end{bmatrix} \quad G_{YY} = \begin{bmatrix} 0 & 1 & 0 \\ 0 & -2 & 0 \\ 0 & 1 & 0 \end{bmatrix}$$

- Como a operação de convolução é distributiva em relação à adição, virá:

- $\mathcal{L}[A(x, y)] = G_{XX} * A + G_{YY} * A = (G_{XX} + G_{YY}) * A = \mathcal{L} * A$ 
  - onde se tem finalmente:

$$\mathcal{L} = G_{XX} + G_{YY} = \begin{bmatrix} 0 & 1 & 0 \\ 1 & -4 & 1 \\ 0 & 1 & 0 \end{bmatrix}$$



## Ainda a segunda derivada - Laplaciano

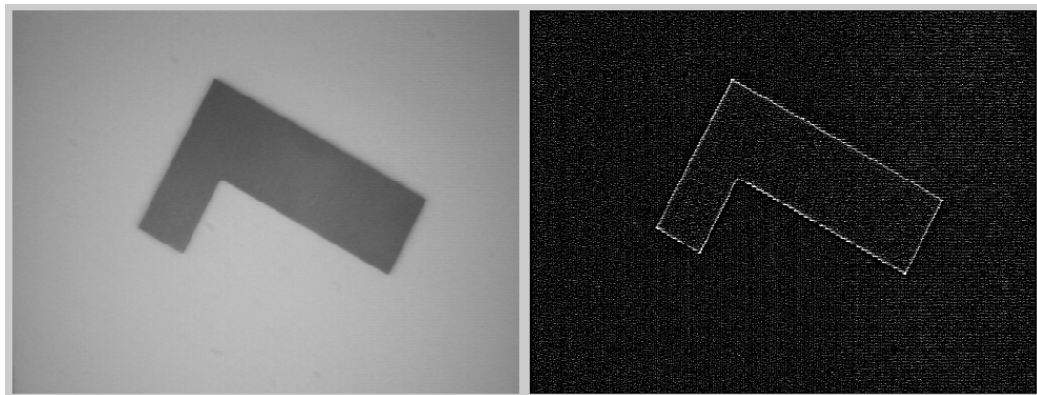
- Como a segunda derivada é sensível ao ruído, é comum aplicar uma técnica de suavização antes de usar o operador de Laplace (2ª derivada).
- Laplaciano da Gaussiana - LoG
  - A segunda derivada de  $f(x, y)$  é suavizada
  - Expressão do LoG (Laplace of Gaussian):

$$\nabla^2[G(x, y, \sigma) * f(x, y)] = \text{LoG}(x, y) = -\frac{1}{\pi\sigma^4} \left(1 - \frac{x^2 + y^2}{2\sigma^2}\right) e^{-\frac{x^2 + y^2}{2\sigma^2}}$$

- Outras aproximações discretas comuns do operador Laplaciano:

$$\begin{bmatrix} 0 & 1 & 0 \\ 1 & -4 & 1 \\ 0 & 1 & 0 \end{bmatrix} \quad \begin{bmatrix} 1 & 1 & 1 \\ 1 & -8 & 1 \\ 1 & 1 & 1 \end{bmatrix} \quad \begin{bmatrix} -1 & 2 & -1 \\ 2 & -4 & 2 \\ -1 & 2 & -1 \end{bmatrix}$$

## Exemplo de resultado de um LoG

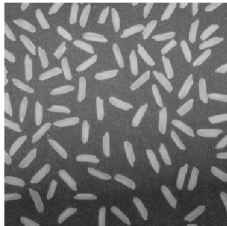


```
A=im2double(imread('part.png'));  
H=fspecial('log'); %creates the right filter weights  
C=imfilter(A,H); %applies the filter  
C=C/max(max(C)); %normalize result to 1  
subplot(1,2,1); imshow(A); subplot(1,2,2); imshow(C)
```

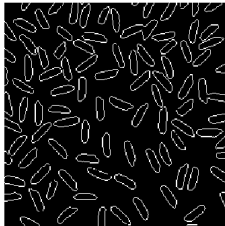
# Exemplos em Matlab

- Em Matlab existe uma função que calcula o gradiente e determina os valores das arestas.
- Função `edge()` com seis algoritmos possíveis:
  - `BW = edge(I, 'sobel')`
  - `BW = edge(I, 'prewitt')`
  - `BW = edge(I, 'roberts')`
  - `BW = edge(I, 'log')`
  - `BW = edge(I, 'zerocross')` [ 'log' e outros filtros]
  - `BW = edge(I, 'canny')`
    - `BW = edge(I, 'approxcanny')` (variante mais rápida de Canny)
- Aceita outros parâmetros opcionais variáveis conforme o operador escolhido.
- Pode retornar outros valores tais como o limiar automático usado na decisão do que é "aresta".

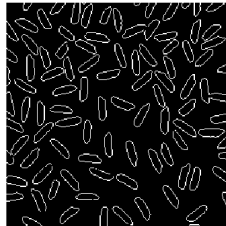
# Exemplos de detecção de arestas - 1



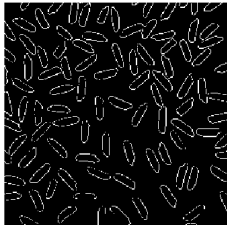
original



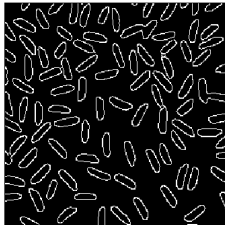
prewitt



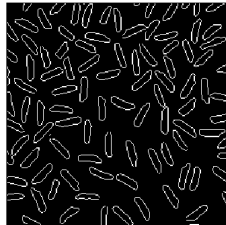
sobel



roberts

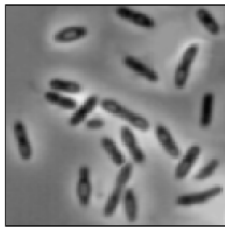


canny



log

## Exemplos de detecção de arestas - 2



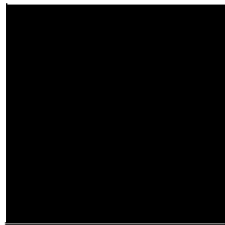
original



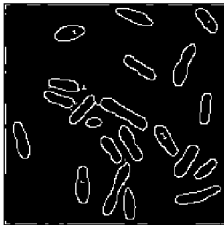
prewitt



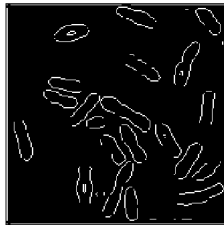
sobel



roberts

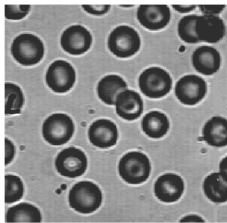


canny

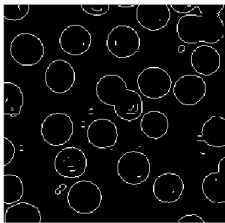


log

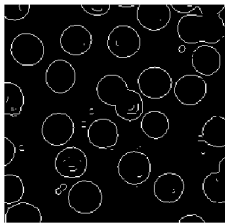
## Exemplos de detecção de arestas - 3



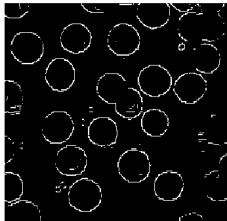
original



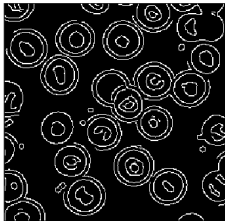
prewitt



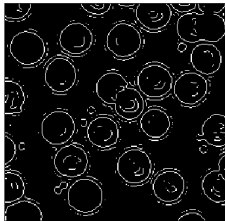
sobel



roberts

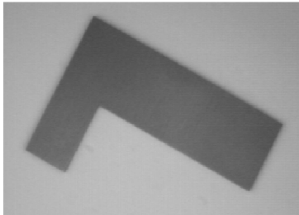


canny

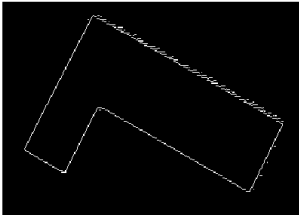


log

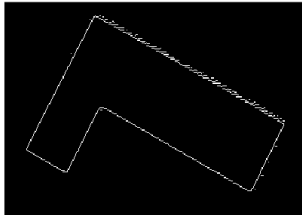
## Exemplos de detecção de arestas - 4



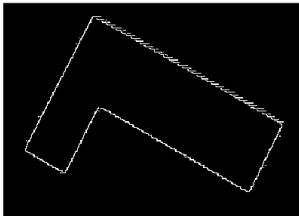
original



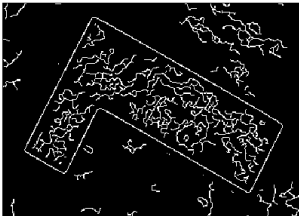
prewitt



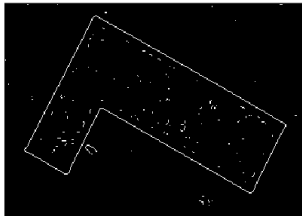
sobel



roberts



canny



log



# Técnicas de *template matching*

## Alternativa de "template matching" (compass operators)

- Em alternativa aos métodos diferenciais usam-se em cada ponto múltiplos filtros de convolução (mais de dois, e tipicamente de 8 a 12)
- Esses filtros representam as diversas possibilidades de tipologias de arestas.
- Aplicam-se todos os filtros de um dado conjunto, e em cada ponto é escolhido aquele que resultar no maior valor do cálculo de convolução:
  - Seja a imagem  $A$  e os filtros  $H_j (j = 1, \dots, n)$
  - Sejam as convoluções:  $D_j = H_j * A$
  - $G(u, v) = \max(D_j(u, v))$  para  $j = 1, \dots, n$
  - Ou seja, o valor da operação de TM para arestas ( $G$ ) é o máximo dos  $n$  filtros testados em cada ponto.
- Exemplos de filtros de TM ( $3 \times 3$ ):
  - Kirsh, Robinson "nível-3", Robinson "nível-5", Prewitt (para TM), etc.
- As variantes são em múltiplos de  $45^\circ$  ("rotação" em torno do elemento central)

# Exemplos de filtros usados em TM

- Prewitt  $0^\circ$

$$\begin{bmatrix} -1 & 1 & 1 \\ -1 & -2 & 1 \\ -1 & 1 & 1 \end{bmatrix}$$

- Prewitt  $45^\circ$

$$\begin{bmatrix} 1 & 1 & 1 \\ -1 & -2 & 1 \\ -1 & -1 & 1 \end{bmatrix}$$

- Prewitt  $90^\circ$

$$\begin{bmatrix} 1 & 1 & 1 \\ 1 & -2 & 1 \\ -1 & -1 & -1 \end{bmatrix}$$

- Kirsh  $0^\circ$

$$\begin{bmatrix} -3 & -3 & 5 \\ -3 & 0 & 5 \\ -3 & -3 & 5 \end{bmatrix}$$

- Kirsh  $45^\circ$

$$\begin{bmatrix} -3 & 5 & 5 \\ -3 & 0 & 5 \\ -3 & -3 & -3 \end{bmatrix}$$

- Kirsh  $90^\circ$

$$\begin{bmatrix} 5 & 5 & 5 \\ -3 & 0 & -3 \\ -3 & -3 & -3 \end{bmatrix}$$

- Robinson L-3  $0^\circ$

$$\begin{bmatrix} -1 & 0 & 1 \\ -1 & 0 & 1 \\ -1 & 0 & 1 \end{bmatrix}$$

- Robinson L-3  $45^\circ$

$$\begin{bmatrix} 0 & 1 & 1 \\ -1 & 0 & 1 \\ -1 & -1 & 1 \end{bmatrix}$$

- Robinson L-3  $90^\circ$

$$\begin{bmatrix} 1 & 1 & 1 \\ 0 & 0 & 0 \\ -1 & -1 & -1 \end{bmatrix}$$